

DALGA ETKİSİYLE OLUŞAN KİYIYA DİK AKINTILAR : SINIR TABAKALI ÇÖZÜM

Osman S. Börekçi

Boğaziçi Üniversitesi, İnşaat Mühendisliği Bölümü, 80815, Bebek, İstanbul

Erdem Albek

Anadolu Üniversitesi, Çevre Mühendisliği Bölümü, 26470, Eskişehir

Öz

Kıyıları şekillendiren taşının süreçlerinin anlaşılması için ilk adım bu süreçlerde etken olan kıyı akıntılarının anlaşılmasıdır. Bu amaçla, kırılma bölgesinde dalga etkisiyle oluşan kıyıya dik yöndeki akıntıların derinlik üzerindeki dağılımları geliştirilen iki model yardımıyla incelenmiş, elde edilen sonuçlar Hansen ve Svendsen'in (1984) ve Okayasu v.d.'nin (1988) laboratuvar ölçümleriyle karşılaştırılmıştır. Geliştirilen modellerin ilkinde tabandaki sınır tabakası ihmali edilerek dalga dikliğinin ve taban eğiminin akıntı dağılımını üzerindeki etkisi araştırılmıştır. Bu modelin detayları ve bulgular önceki bir yayında raporlandırdı (Börekçi ve Albek, 1994) burada sınır tabakasının etkilerini de içeren ikinci modelin sonuçları ve bunların birinci model ve yukarıda bahsedilen deney sonuçlarıyla karşılaştırılması üzerinde durulacaktır.

1. Fiziksel süreçler ve model denklemleri

Dalgaların kırılmaya başladığı kırılma hattı ile kıyı arasında kalan kırılma bölgesinde dalga momentum akısı sıfırlanırken ortalama su seviyesi artar. Momentum akısının kıyı yönünde değişmesi su kütlesine bir kuvvet tatbiki ile eşdeğerdir. Momentum akısının dalga çukuru ile dalga tepesi arasında yoğunluğu göz önüne alınırsa dalgaların sürdüğü akıntılarının yönü su kütlesinin üst tabakalarında kıyıa doğru, alt tabakalarında ise aşağı doğrudur. Tabandaki sürtünme ise akıntıya karşı koyarak akıntı dağılımının özellikle taban yakınında değişmesine neden olur. Tanımlanan fiziksel süreçleri içeren model denklemi kıyı yönündeki momentum denklemidir. Bu denklem

$$\frac{\partial \bar{\tau}}{\partial z} = \rho \left[\frac{\partial}{\partial x} (\bar{u'^2} - \bar{w'^2}) \right] + \rho \frac{\partial}{\partial z} (\bar{u'w'}) + \gamma \frac{\partial \bar{\eta}}{\partial x} \quad (1)$$

olarak ifade edilebilir. Burada x ve z sırasıyla kıyı yönünü ve düşey yönü, u' ve w' bu yönlerde dalga etkisiyle oluşan su hızlarını, ρ ve γ suyun yoğunluğunu ve özgül ağırlığını, τ kayma gerilmesini, h serbest su yüzeyi yüksekliğini, ve $(\bar{\cdot})$ zaman üzerinden alan ortalamayı göstermektedir. Momentum denkleminin derinlik üzerindeki entegrasyonu ile

$$\bar{\tau}(z) = \bar{\tau}(h) - \sum_{i=1}^N \rho \left[\frac{\partial}{\partial x} (\bar{u'^2} - \bar{w'^2}) \right] \Delta z + \rho \left(\bar{u'w'} \right) \Big|_z + \gamma \frac{\partial \bar{\eta}}{\partial x} (h - z) \quad (2)$$

ifadesi elde edilir. Burada h ortalama su derinliğini, $\bar{\tau}(h)$ ise bu seviyedeki kayma gerilmesini göstermektedir. $\bar{\tau}(h)$ dalga çukuru üstündeki toplam momentum akısının kıyı yönündeki değişimine eşittir. Denklem (2)'nin sağ tarafındaki ikinci terim düşey yönde N adet nokta kullanılarak yapılacak olan nümerik entegrasyonu sembolik olarak ifade etmektedir. Dalgaların

ve bunların sürdüğü akıntıların bulunduğu bir ortamda ortalama kayma gerilmesi

$$\bar{\tau}(z) = \rho \epsilon(z) \left[\frac{\partial}{\partial z} (u + u') \right] \quad (3)$$

ifadesi ile verilebilir. Burada u akıntı hızını, $\epsilon(z)$ ise dalga kırılmasından doğan türbülansın etkisini yansitan edi vizkozitesini göstermektedir. Hesaplamlarda üç değişik edi vizkozitesi modeli kullanılmıştır; (a) Edi vizkozitesi sabit (EVS) : $\epsilon = 0.067 h \sqrt{\tau^* / \rho}$ (Reid, 1957), (b) Edi vizkozitesi lineer (EVL) : $\epsilon(z) = \kappa (h - z) \sqrt{\tau^* / \rho}$ (Grant ve Madsen 1979), (c) Edi vizkozitesi deneysel (EVD) : Okayasu v.d. (1988) laboratuvar deney sonuçlarından elde edilen lineer dağılım. Yukarıdaki ifadelerde τ^* dalga çukuru seviyesindeki kayma gerilmesini, κ ise von Karman sabitini göstermektedir. Dalga kırılması yüzeyde gerçekleştiğinden, tabandan yüzeye doğru artan edi vizkozitesi dağılımlarının (EVL ve EVD) daha iyi sonuç vermesi beklenir. Modelde kullanılan taban sınır tabakası ile ilgili denklmeler Christofferson ve Jonsson'dan (1985) alınmıştır. Burada sınır tabakası kalınlığı, δ , ve sınır tabakası hız profili, u_b

$$\delta = r \frac{\pi}{2} \sqrt{\frac{2 \beta k_N u_*}{\omega}} \quad \frac{u_b}{u_*} = \frac{1}{\kappa} \ln \frac{z}{z_o}; \quad z_o = \frac{k_N}{30} \quad (4)$$

olarak verilmiştir. Yukarıdaki denklemde r bir sınır tabakası sabiti (0.45 deneysel, 0.925 deneysel), β türbülans katsayı (0.0747 (Bagnold, 1946), (Christofferson ve Jonsson, 1985), 0.0788 (Jonsson ve Carlsen, 1976)), k_N Nikuradse pürüzlülük parametresi (ondülesiz kum taban için 0.012 (Dyer, 1986)), ω ise dalga frekansıdır. u_* , tabandaki ortalama kayma geilmesi cinsinden $u_* = \sqrt{\tau_b / \rho}$ olarak ifade edilebilir. Sınır tabakası içinde edi vizkozitesi $\epsilon = \beta k_N u_*$ olarak alınabilir.

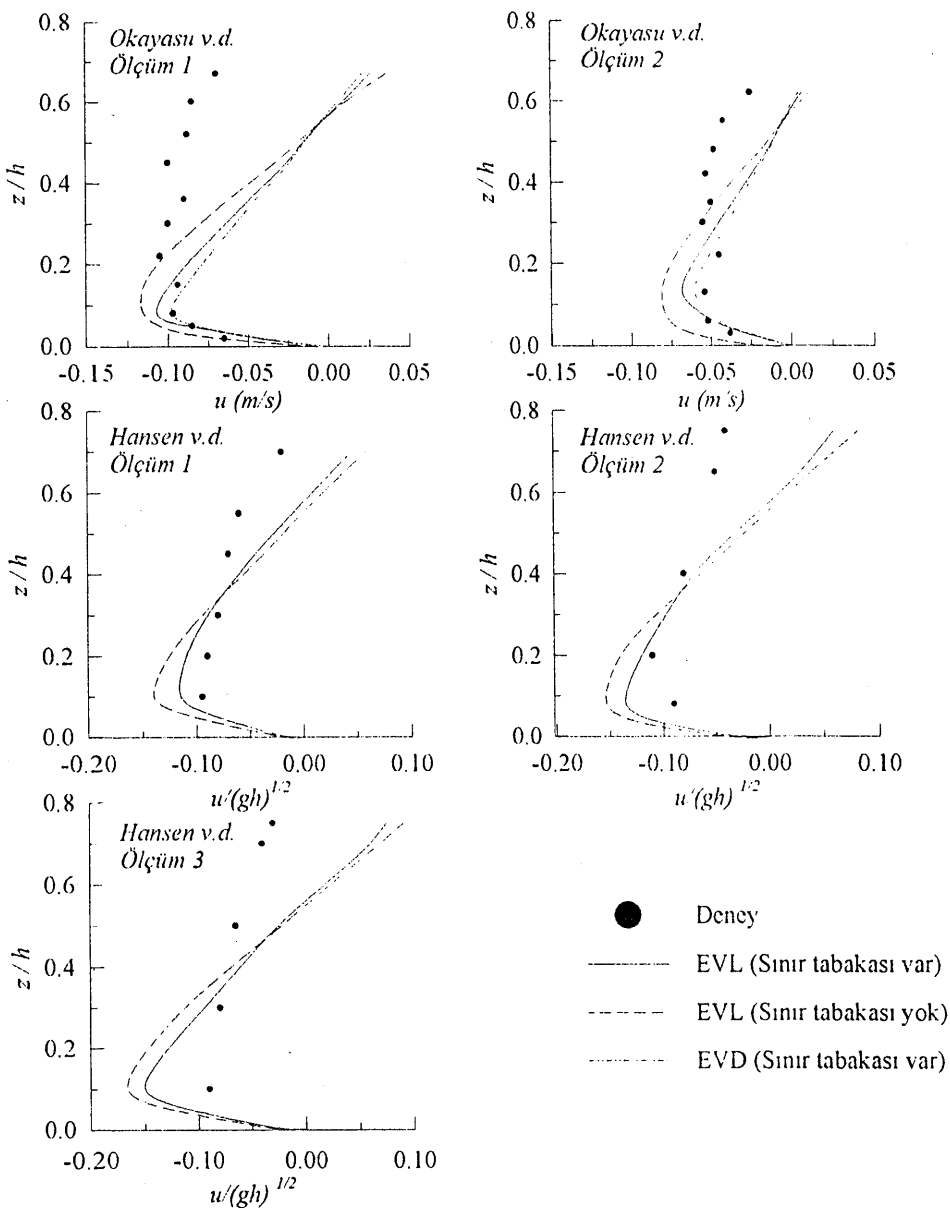
Modelde, fiziksel süreçlerin içinde yer aldığı sıg su şartlarına uygun olarak Fourier dalga teorisi kullanılmıştır. Bu teorinin detayları Fenton (1982) ile Rienecker ve Fenton (1988)'da verilmiştir. Bu teori dalgaya ilaveten bir akıntıının veya kütle akısının dahil edilmesine olanak verdiği için ve kırılma sırasında görülen dalga dikliklerine yaklaşabildiği için tercih edilmiştir.

2. Çözüm algoritmaları

1. Seçilen dalga özelliklerine göre Fourier dalga teorisinden akım hızları ve momentum akıları bibrine çok yakın iki derinlikte hesaplanır (sıfır kütle akısına göre). 2. Denklemelerde geçen kıyı yönündeki türevler sonlu farklarla, zaman üzerinden alınan integraller ve derinlik üzerinden alınan integraller ise nümerik entegrasyonla hesaplanır. 3. Momentum denkleminde geçen ortalama su seviyesinin kıyı yönündeki değişimini tahmin edilerek derinlik üzerinde kayma gerilmeleri bulunur. 4. Kayma gerilmelerinden yararlanarak akıntı hızları düşeyde Δz aralıklarla alınan j noktalarında tabandan yukarıya doğru $\bar{u}_{j+1} = \bar{u}_j + \tau_j \Delta z / (\rho \epsilon_j)$ ifadesi kullanılarak hesaplanır. 5. Seçilen ortalama su seviyesinin kıyı yönündeki değişiminin kontrolu için elde edilen akıntı hızları ile Fourier dalga teorisinden elde edilen hızlarla kıyı yönünde debi hesabı yapılarak sonuçlar karşılaştırılır. Debiler farklı ise 3'e dönülür.

3. Model sonuçları ve karşılaştırmalar

Geliştirilen modelden elde edilen ortalama akıntı hızları Hansen ve Svendsen (1984) ve Okayasu, Shibayama ve Horikawa (1988) laboratuvar deney sonuçları ile Şekil 1'de karşılaştırılmıştır. Bu şekilde kıyı sağdadır. Model hakkında daha iyi bir fikir verebilmek için sınır



Şekil 1. Model ortalama akıntılarının, u , deneySEL verilerle karşılaştırılması. Okuyasu, Shibayama ve Horikawa (1988) : $T=2$ s, taban eğimi=1:20, Ölçüm 1($h=0.071$ m, $H=0.05$ m), Ölçüm 2 ($h=0.04$ m, $H=0.028$ m). Hansen ve Svendsen (1984) : $T=2$ s, taban eğimi=1:34.25, Ölçüm 1 ($h=0.087$ m, $H=0.05$ m), Ölçüm 2 ($h=0.102$ m, $H=0.067$ m), Ölçüm 3 ($h=0.123$ m, $H=0.081$ m)

tabakasız modelin sonuçları da gösterilmiştir. Beklendiği gibi, model yüzeye yakın bölgelerde kıyıya doğru, daha aşağılarda ise aşağıya doğru akıntılar yaratmıştır. Bu akıntılar derinliğin azalmasıyla beraber azalmaktadır. Edi vizkozitesi modellerinden EVL ve EVD en iyi sonuçları vermiştir. Akıntı hızları taban eğimi ve dalgıçının artması ile artmaktadır (Börekçi ve Albek, 1994). Sınır tabakasının etkisi bekleniği gibi akıntı hızlarını düşürmüştür ve model sonuçlarını tabana yakın kısımlarda verilere yakınlaştırmıştır. EVD'nin kullanıldığı

hesaplanalarda bu uyum daha da iyi olmaktadır. Bütün karşılaştırmalarda $z/h > 0.4$ için model sonuçları ile veriler arasındaki farkların arttığı görülmektedir. Bunun nedeni modelin bu bölgedeki yetersizliği olabileceği gibi, kırılma sonucunda bu bölgede oluşan hava kabarcıklarının ölçümlere getirdiği hatadan da olabilir.

4. Daha iyi bir model

Model genelde iyi sonuçlar vermekle beraber geliştirmeye açıktır. Kullanılan dalga teorisi, birçok dalga teorisi gibi, yatay tabanlar için geçerli bir teoridir. Modelde taban eğimi tabanda sürekli denklemi kullanılarak momentum denklemine dahil edilmiştir (Börekçi ve Albek, 1994). Eğimli tabanlar için geliştirilmiş ve taban sınır tabakasını da içeren bir dalga teorisinin modelde kullanılması daha iyi sonuçlar verebilir. Dalga kırılmasının çeşitli şekillerde gerçekleştiği göz önüne alınırsa daha iyi bir modelin değişik kırılma tiplerini veya değişik edi vizkozitesi modellerini içermesi gereklidir. Model sonuçlarının karşılaştırılması için daha geniş bir veri tabanında ihtiyaç vardır.

Kaynaklar

- Bagnold,R.A., "Motion of Waves in Shallow Water: Interaction of Waves and Sand Bottoms", *Proc. Roy. Soc. Lond.*, A187, p.1-15, 1946.
- Börekçi, O.S., Albek, E., "Modelling Cross-shore Currents in the Surf Zone", *The Second Course on Coastal Engineering*, Yıldız Technical University, p.87-115, 1994.
- Christoffersen, J.B., Jonsson,I.G."Bed Friction and Dissipation in a Combined Current and Wave Motion", *Ocean Engineering*, v.12, no.5,pp.387-423, 1985.
- Dyer, K.R., "Coastal and Estuarine Sediment Dynamics", John Wiley & Sons, 1986.
- Fenton, J.D. "The Numerical Solution of Steady Water Wave Problems", *Computers & Geosciences*, v.14, No.3, pp. 357-368, 1988.
- Grant, W.D., Madsen,O.S., "Combined Wave and Current Interaction with a Rough Bottom", *Journal of Geophysical Research*, v.84, p.1707-1808. 1979.
- Hansen, J. B., Svendsen, I.A., "A Theoretical and Experimental Study of Undertow", *Proc. 19th Int. Conf. Coastal Eng.*, chap.151, p. 2246-2262, 1984.
- Jonnson,I.G., Carlsen,N.A., "Experimental and Theoretical Investigations on an Oscillatory Turbulent Boundary Layer", *J. Hydr. Res.*, v.14,p.45-60, 1976.
- Reid,R.O., "Modification of the Quadratic Bottom Stress Law for Turbulent Channel Flow in the Presence of Surface Wind Stress", *Beach Erosion Board Tech. Memo.* no.93, 1957.
- Rienecker, M.M. and Fenton, J.D. "A Fourier Approximation Method for Steady Water Waves", *Journal of Fluid Mechanics*, v 104, pp. 119-137, 1982.
- Okayasu, A., Shibayama, T., Horikawa, K., "Vertical Variation of Undertow in the Surf Zone", *Proceedings of the 21st Coastal Engineering Conference*, Costa del Sol, Malaga, Spain, pp. 478-491, 1988.